

建設省土木研究所 正会員 ○井川 敏正
 同 上 正会員 篠原 洋司
 同 上 正会員 箕作 光一

1.はじめに

PC桁のせん断破壊モードの一つであり、しかも上限値を意味するウェブ圧縮破壊については、その強度評価が実設計上重要であるにもかかわらず、研究事例が少なく十分な究明がなされていない状況にある。

筆者等は、現在、実桁寸法諸元に近い大型供試体を用いてPC桁のせん断耐荷挙動に関する一連の実験的研究を進めているが、その一環として、ウェブ圧縮破壊耐力に関する実験を行ない若干の考察を加えた。本文では、その結果の概要を述べることにする。

2. 実験方法

実験に用いた供試体は、図-1に示す形状・寸法を有するもので、数量は9体である。また、各供試体の諸元については、表-1に示す通りである。実験は、載荷スパン2mとした2点集中載荷方式（せん断スパン比3.38）で、若干の繰返しを行った後、供試体が破壊するまで荷重を加える方法で行った。

3. 実験結果と考察

表-1に示すように、軸方向鋼材以外は、各タイプによってその諸元を変えているが、すべてウェブ圧縮破壊で耐力を失った。現行の道路橋示方書（以下、道示）、ならびにPC標準示方書におけるウェブ圧縮破壊耐力算定式には、斜引張鋼材量の影響は、考慮されていないが、破壊性状および破壊耐力が、その影響を顕著に受けることが認められた。破壊性状については、斜引張鋼材を比較的多量に配置した供試体（タイプA, B）は、斜引張鋼材が、降伏以前に急激な破壊を生じ、一方、比較的少量に配置した供試体（タイプC～I）は、斜引張鋼材が、降伏後に緩やかな破壊を生じることが観察された。

図-2は、主に斜引張鋼材量によって、ウェブ圧縮破壊耐力が変化することを示したものである。横軸の係数K_xは、トラスモデルに基づくウェブ圧縮破壊耐力（①式）と斜引張鋼材降伏耐力（③式）の比（S_{us}/S_{uw}）を表したものである。ただし、①式のK_yは1.0としている。したがって計算上、K_x=1のときは、ウェブ圧縮破壊と斜引張鋼材降伏が同時に生じることを意味し、

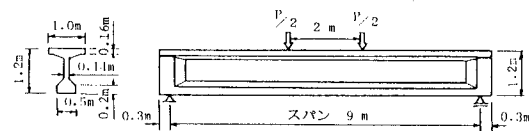


図-1 供試体の形状・寸法および載荷方法

タイプ	コンクリート の圧縮強度 (kg/cm²)	支間中央の有 効プレストレス (kg/cm²)	斜引張鋼材 (PC鋼棒及び 異形鉄筋)			軸方向鋼材 上側 PC鋼棒	軸方向鋼材 下側 PC鋼棒	異形鉄筋
			SBPR		SD35			
			95/110	95/120	SBPR	95/120	D25 4本	
A	381	-16.8	SD35 D13 6cmピッチ	SBPR	SD35	SBPR	95/120	D25 4本
		109.1	SD35 D13 6cmピッチ					
B	320	-16.4	SD35 D13	SBPR	SBPR	SBPR	95/120	
		106.9	5cmピッチ					
C	349	-16.2	SD35 D13					
		105.8	20cmピッチ					
D	275	-20.7	SD35 D13	SBPR	SBPR	SBPR	95/120	
		135.0	10cmピッチ					
E	313	-20.4	SD35 D13	シース無	シース無	シース無	シース無	
		132.5	14cmピッチ	φ26	φ40	φ26	φ40	
F	314	-1.1	SD35 D13	6本	6本	6本	6本	
		6.8	10cmピッチ					
G	360	-21.4	SD35 D13					
		137.9	30cmピッチ					
H	325	-20.9	SD35 D13					
		134.5	40cmピッチ					
I	402	-0.5	SD35 D13					
		3.2	30cmピッチ					

◎ウェブ圧縮破壊耐力の算定式

$$S_{uw} = K_y \cdot \sigma_c \cdot \sin^2 \beta \cdot (\cot \beta + \cot \theta) \cdot \frac{b_v \cdot d}{1.15} \quad \text{①}$$

$$\tau_{max} = K_y \cdot \sigma_c \cdot \sin^2 \beta \cdot (\cot \beta + \cot \theta) \quad \text{②}$$

道示の 規定値		筆者等の提案値
K _y	0.4/1.5	0.461 K _x / γ _{mk1} + 0.437 / γ _{mk2} (γ _{mk1} = 1.3, γ _{mk2} = 1.5)
K _x	—	$\frac{A_w}{b_v \cdot S} \cdot \frac{\sigma_{wy}}{\sigma_c} \cdot \frac{1}{\sin^2 \beta}$
θ	90°	90°
β	45°	主応力計算値 β' · γ _m β (β ≤ 45°, γ _m β = 1.0)
σ _c	σ _c	σ _{c'} / γ _{mc} (γ _{mc} = 1.0)
σ _{wy}	σ _{wy}	σ _{wy'} / γ _{mw} (γ _{mw} = 1.0)

$K_x < 1$ のときは、斜引張鋼材がウェブ圧縮破壊発生以前に降伏し、一方、 $K_x > 1$ のときは、その逆を意味することになる。この図から、 K_x 値、すなわち主に斜引張鋼材量の増加につれて、ウェブ圧縮破壊耐力は、比例的に増加する傾向が見られる。ただし、筆者等による実験結果(○印)と Bennett 等による実験結果¹⁾(●印)を比較すると、Bennett 等による実験結果も、同

様な傾向を示しているが、全般的に高くなっている。その原因としては、供試体の形状・寸法が、実桁に近い形状・寸法を有する筆者等の供試体にくらべて、Bennett等の供試体が、スパンで2~3mと小さいことによるものと考えられる。このように、ウェブ圧縮破壊耐力が、主に斜引張鋼材量と比例的な関係を有する要因については、さらに斜ひびわれ数、斜ひびわれ幅、および斜引張鋼材のひずみ挙動等の詳細な分析が必要とされるが、ウェブ圧縮破壊が、コンクリートの圧縮破壊であり、ある限界ひずみに達した時に生じるためと考えられる。すなわち、斜引張鋼材が、斜ひびわれ発生後のひびわれ進展を抑制し、それにともなって、ウェブコンクリートの圧縮ひずみ増加を抑制する機能を有しているためと考えられる。

図-3は、②式を基に道示の規定値を用いた場合と筆者等の提案値を用いた場合の最大せん断強度の計算値と

実験値の比 (τ_t/τ_r , τ_t/τ_p) と実験値 (τ_t) の関係を示している。この図から、実験値と道示値の比 (τ_t/τ_r) が、最大せん断強度の大きさによって、ばらつくのにくらべて、実験値と提案値の比 (τ_t/τ_p) によれば、最大せん断強度の大きさに関係なく、ほぼ一定の比率であることがわかる。

4. おわりに

以上の実験によって、ウェブ圧縮破壊耐力は、主に斜引張鋼材量と比例的な関係を有することが明らかになった。今後、ここに述べた実験結果を基に、理論的考察を加え、より合理的なウェブ圧縮破壊耐力算定式を提示したいと考えている。

〈参考文献〉

- 1). E. W. Bennett and B. M. A. Balasooriya, 榎貝 勇 訳; ウエブが薄く斜め圧縮によって破壊するプレストレストコンクリートはりのせん断強さ、コンクリー

◎斜引張鋼材降伏耐力の算定式 (コンクリートが負担するせん断抵抗を無視)

$$S_{us} = \sigma_w y \cdot \sin \theta \cdot (\cot \beta + \cot \theta) \cdot \frac{A_w \cdot d}{1.15 S} \quad \dots \dots \dots \textcircled{3}$$

ここに

$\sigma_c (\sigma'_c)$	コンクリートの圧縮強度 (kg/cm²)	τ_{max} : 最大せん断強度 (kg/cm²)
$\sigma_w (\sigma'_w)$	斜引張鋼材降伏強度 (kg/cm²)	K_x : 斜引張鋼材量等の影響率
b_w	ウェブ厚 (cm)	K_y : ウェブ圧壊率
d	有効高さ (cm)	A_w : 斜引張鋼材断面積 (cm²)
$\beta (\beta')$	ひびわれ角度 (°)	S : 斜引張鋼材配置間隔 (cm)
θ	斜引張鋼材角度 (°)	γ : 係数

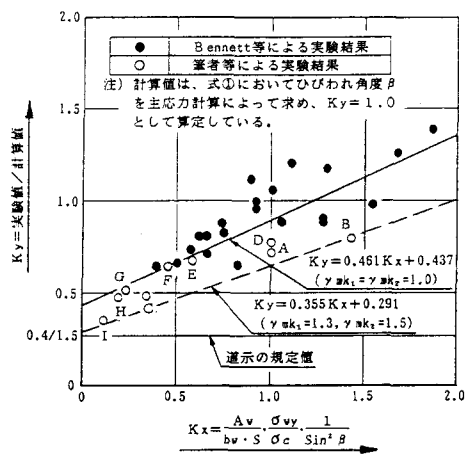


圖-2 $K_{\mu} - K_{\tau}$ 圖

		平均値	変動係数(%)
O	$\tau_t / \tau_{t-1} - 1$	1.92	22
△	$\tau_t / \tau_p - 1$ ($y_{sk_1} = y_{sk_2} = 1.0$)	0.83	10
3.0 ▲	$\tau_t / \tau_{p+1} - 1$ ($y_{sk_1} = 2, y_{sk_2} = 1.5$)	1.21	9

注) τ を求めるに当っては、計算の繁雑さ、精度上の問題および道示との関連上、ひびわれ角度 β を 45° と一定としている。

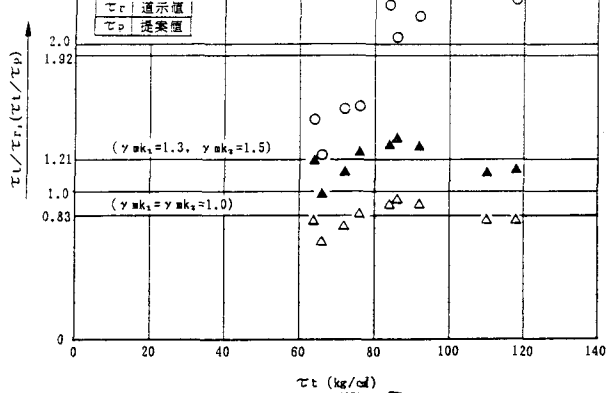


図-3 最大せん断強度の比較